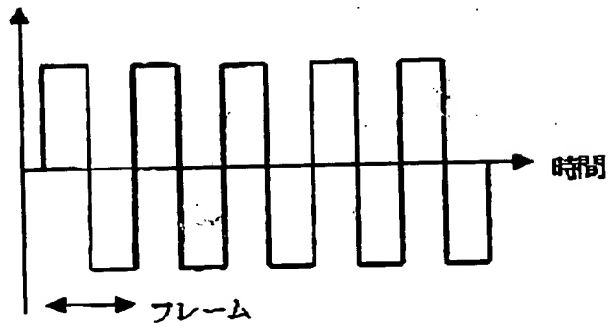
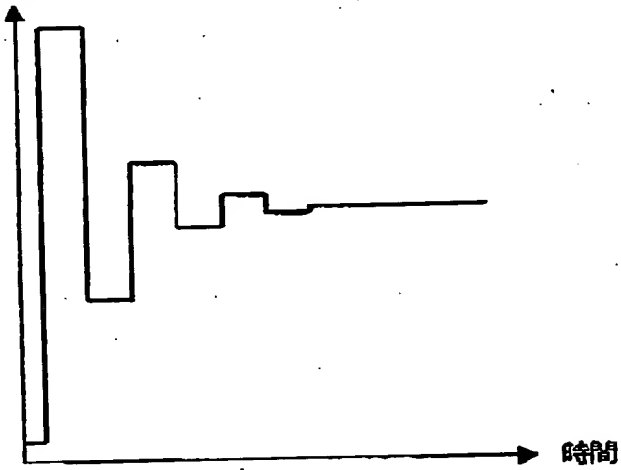


第1図  
従来技術

(a) データ電圧

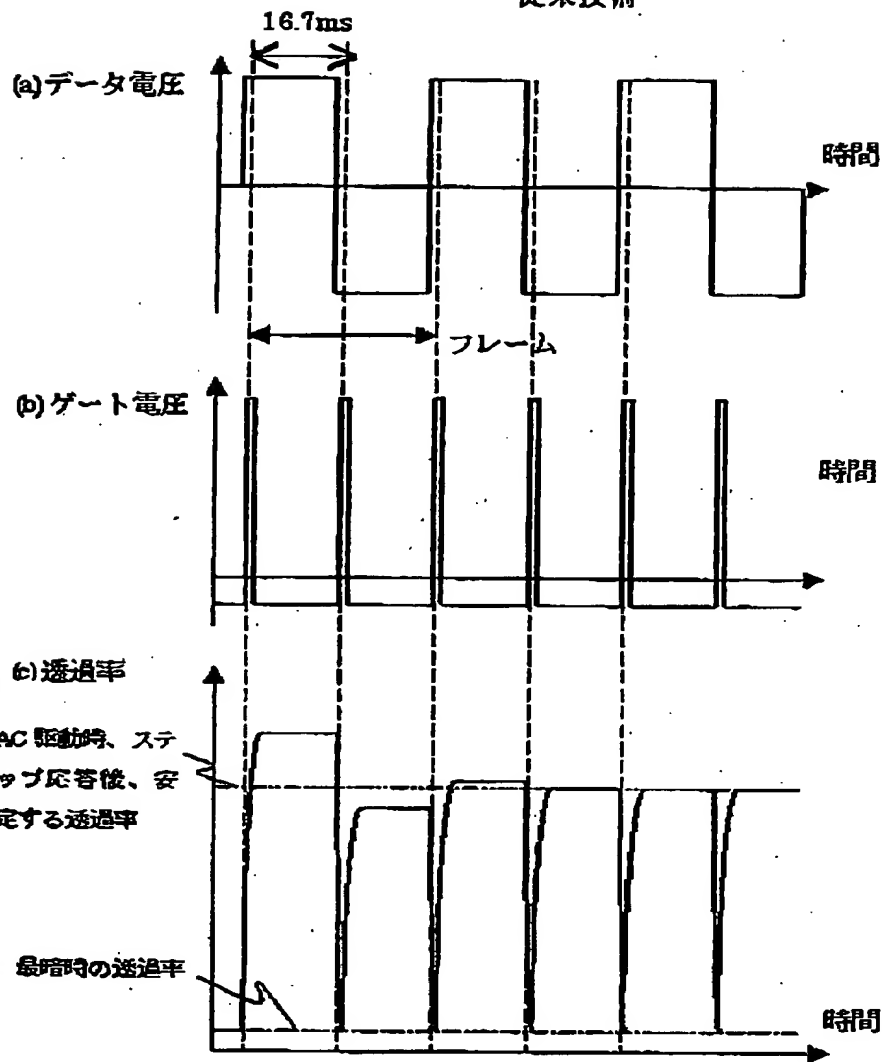


(b) 透過率

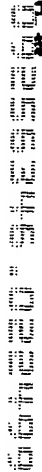


604220 31433000

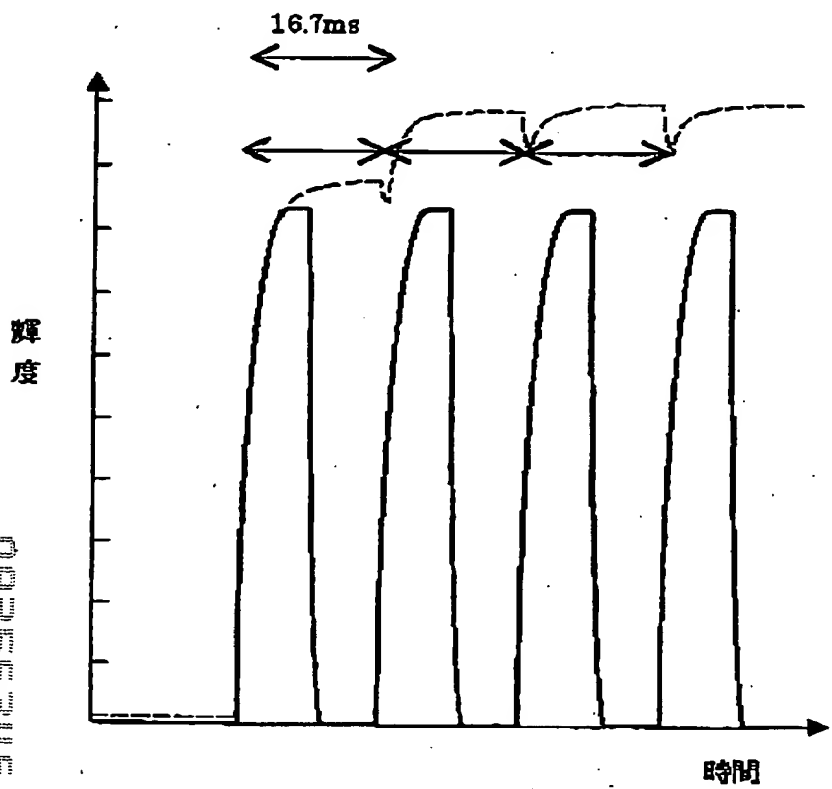
第2図  
従来技術



35

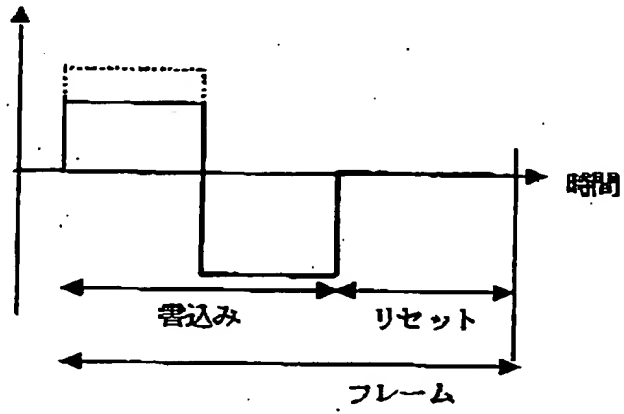


第4図  
従来技術



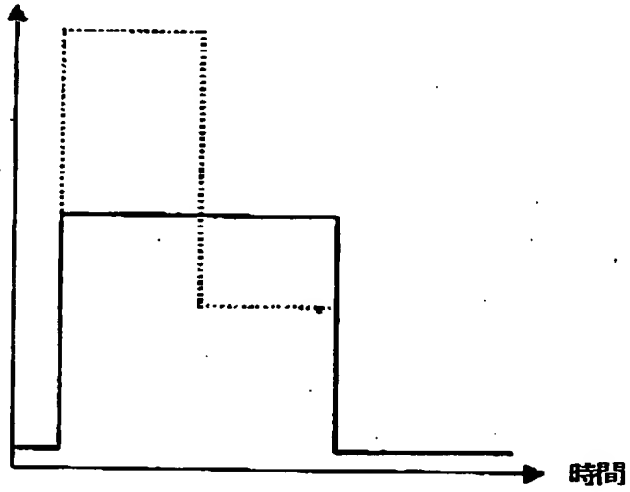
(a)

データ電圧

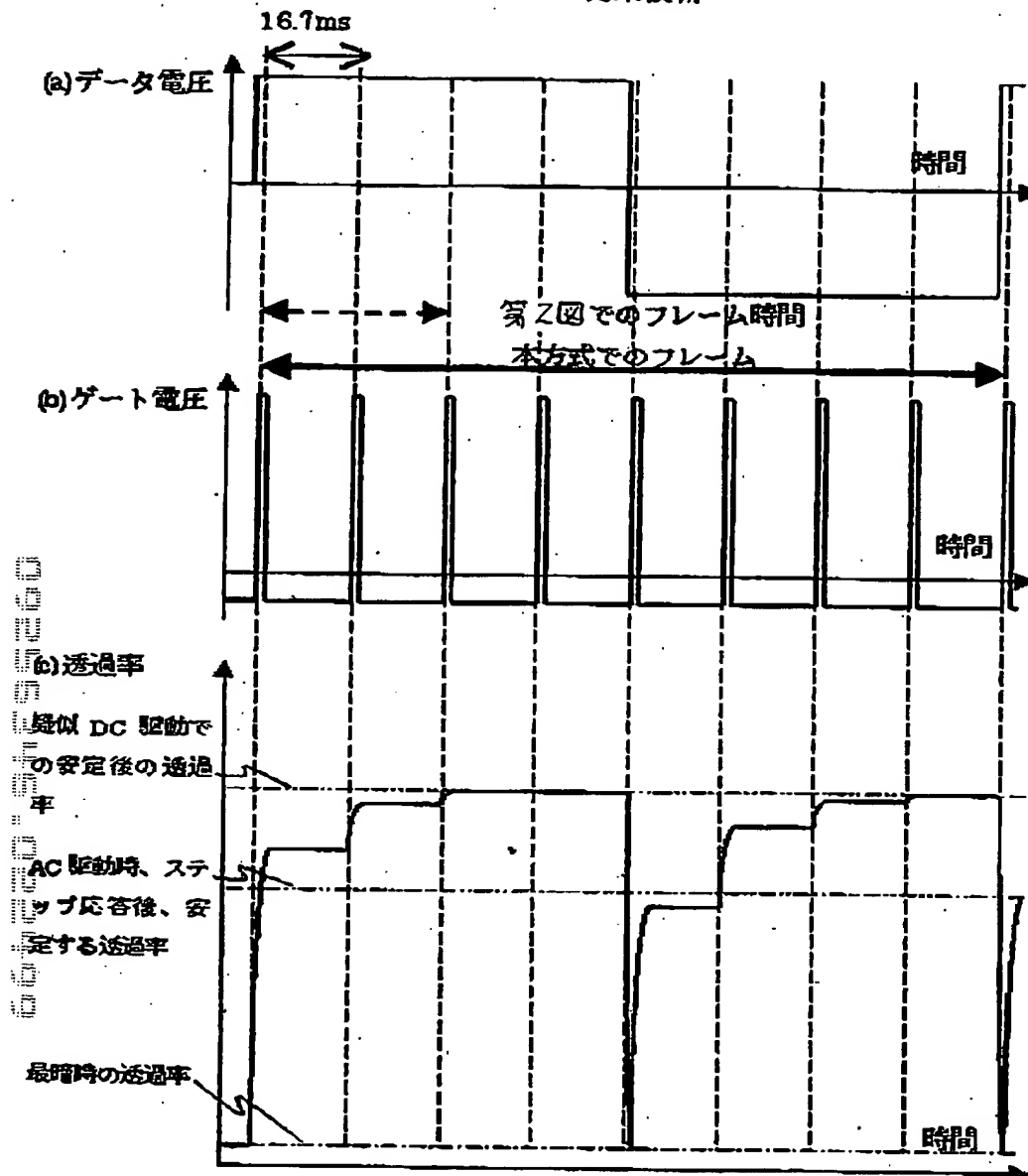


(b)

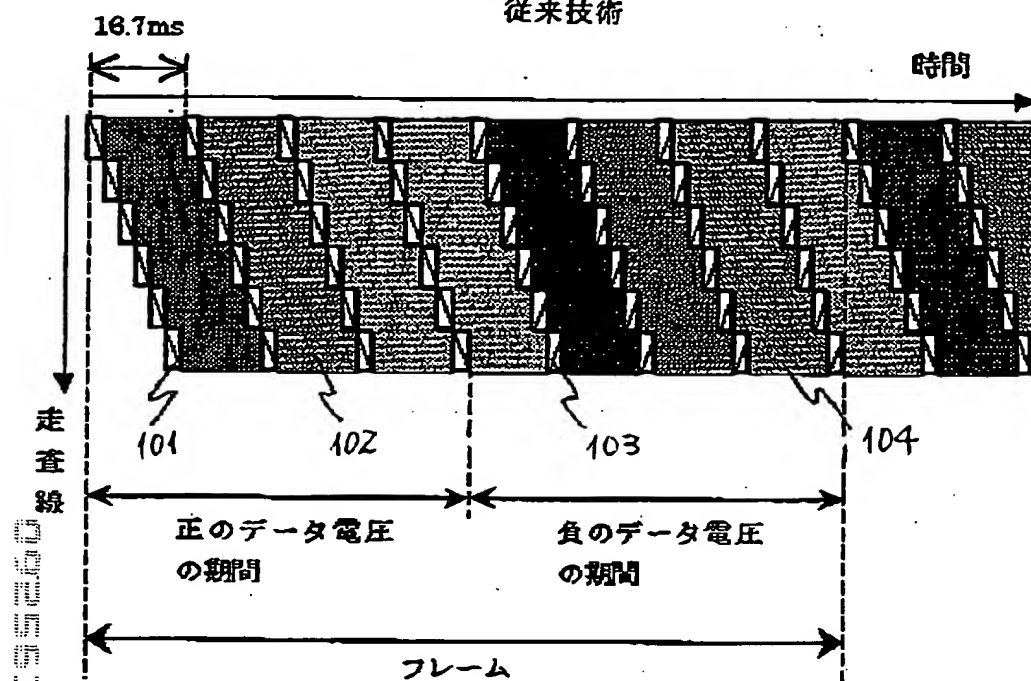
透過率



第 6 図  
従来技術

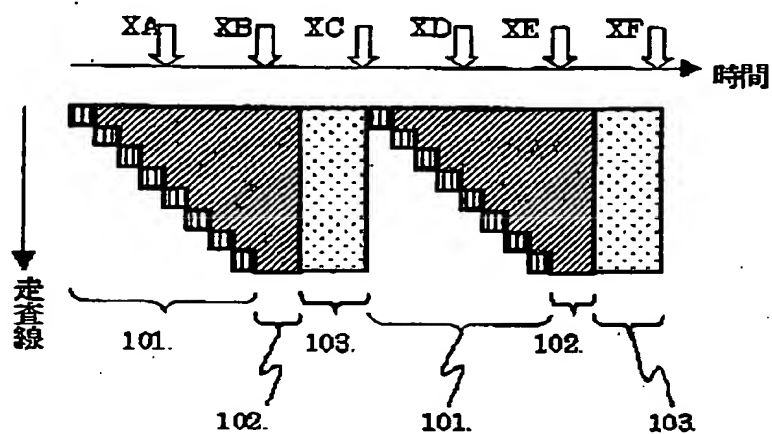


第7図  
従来技術

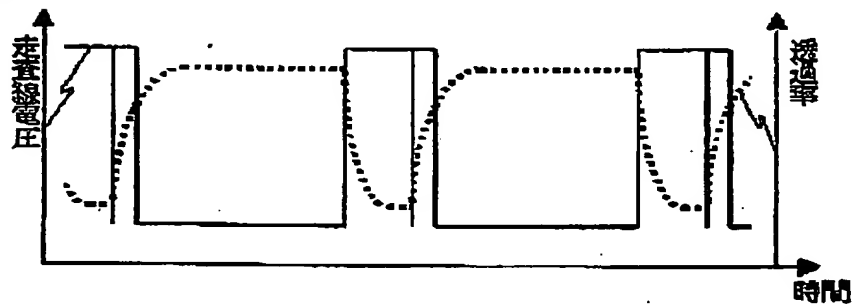


第 8 図  
従来技術

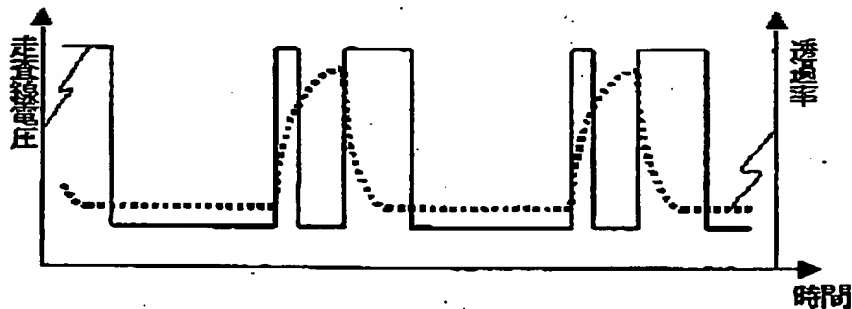
(a)



(b)



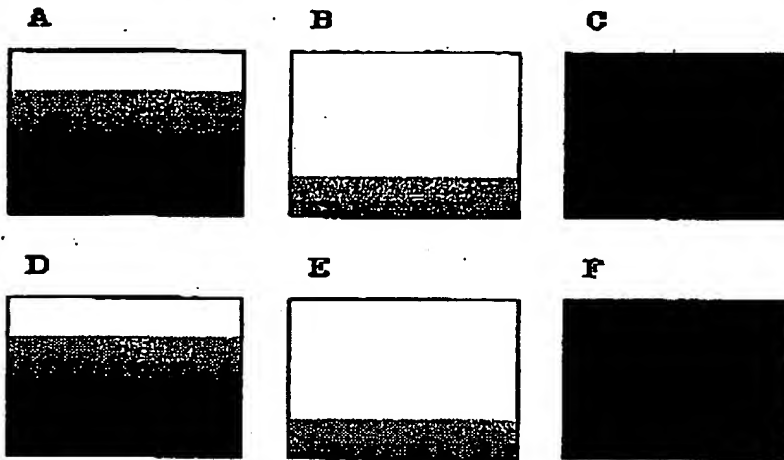
(c)





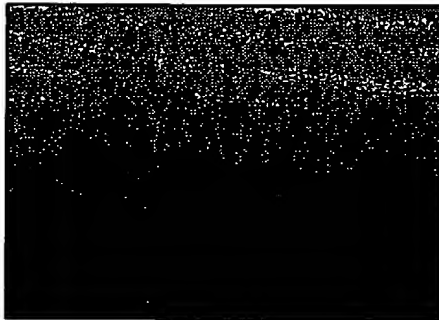
第 9 図 A  
従来技術

(a) 第 8 図の時間毎のパネル面内輝度分布



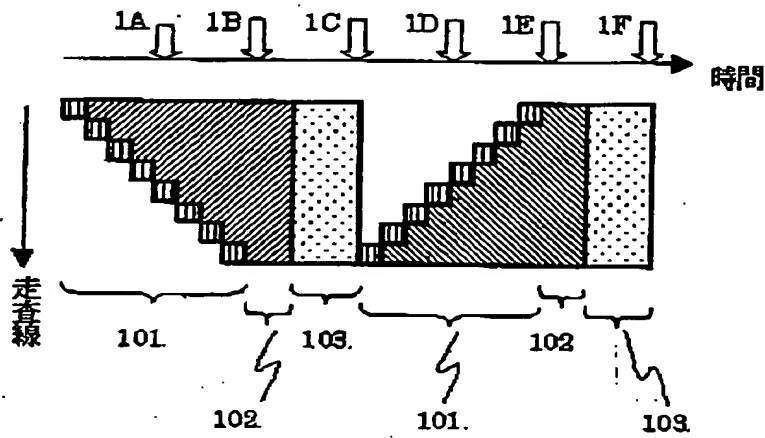
第 9 図 B 従来技術

(b) 第 8 図の時間平均した(観察される)パネル面内輝度分布

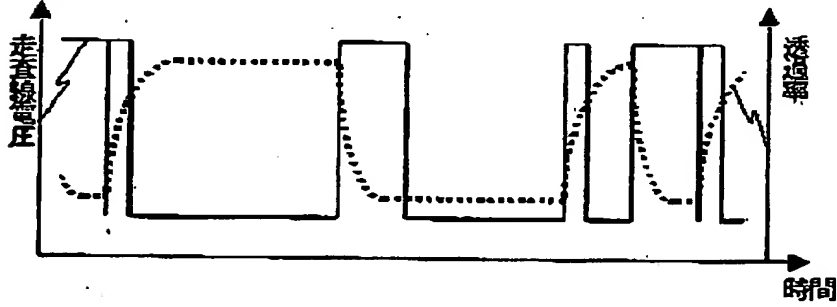


第10図

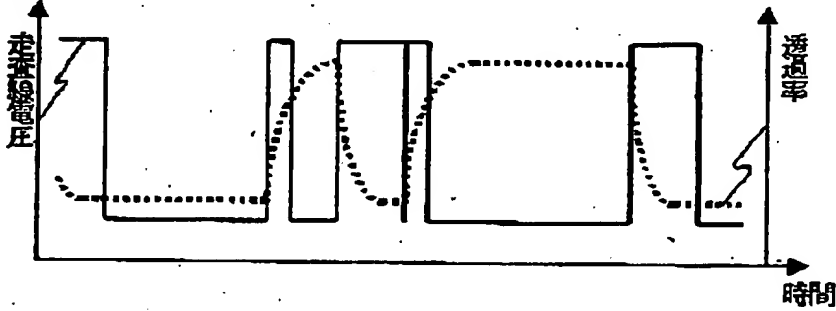
(a)



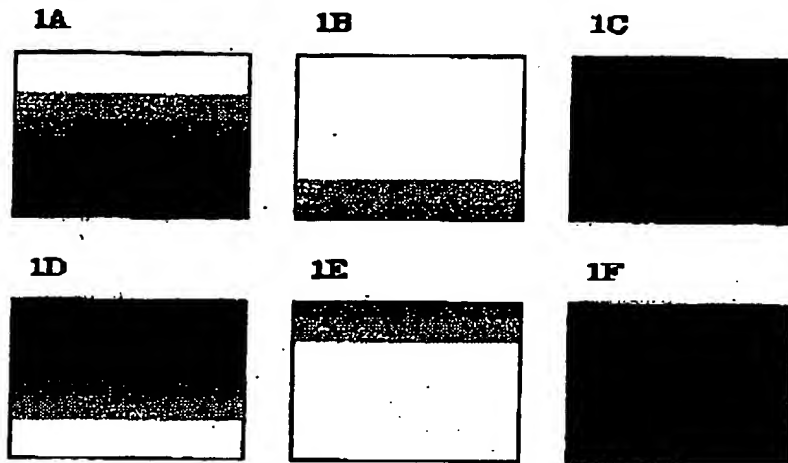
(b)



(c)



(a) 第 10 図の時間毎のパネル面内輝度分布



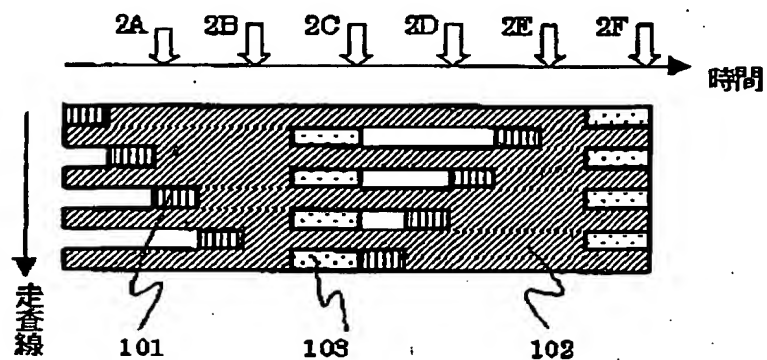
第 11 図 B

(b) 第 10 図の時間平均した(観察される)パネル面内輝度分

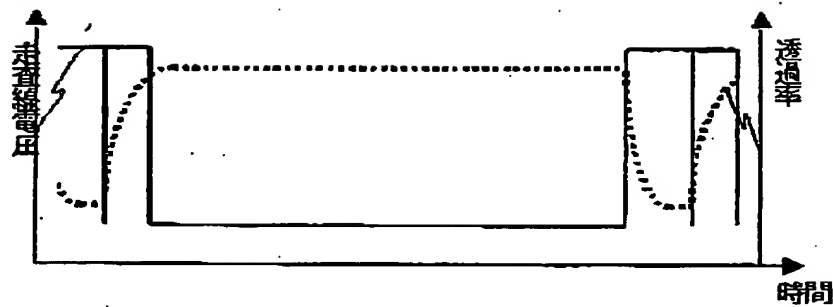


第 1 2 図

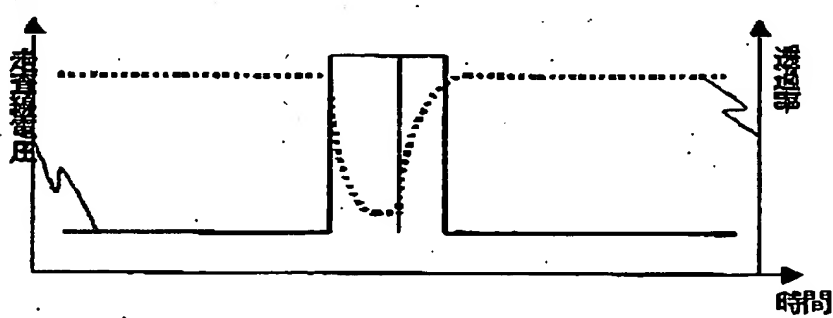
(a)



(b)

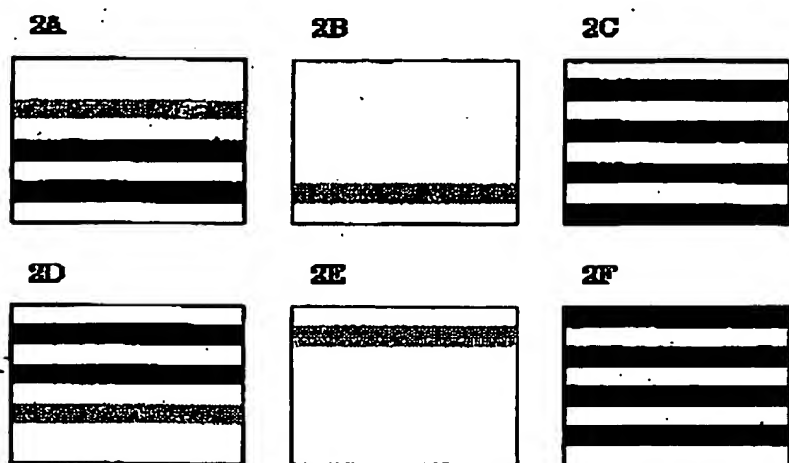


(c)



第 13 図 A

(a) 第12図の時間毎のパネル面内輝度分布

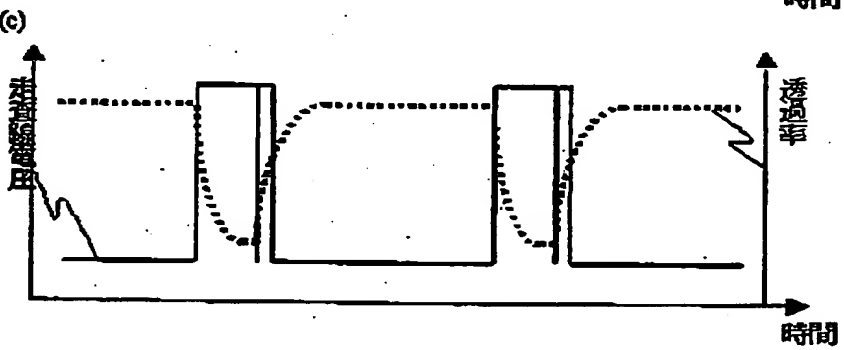


第 13 题 B

(b) 第12図の時間平均した(観察される)パネル面内輝度分布

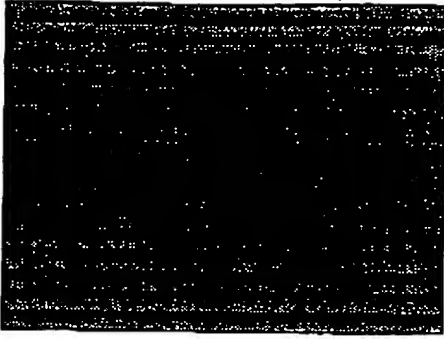


1.  $\frac{1}{2} \frac{d}{dt} \int_{\mathbb{R}^n} |u|^2 dx = \int_{\mathbb{R}^n} u \Delta u dx$   
 2.  $\frac{1}{2} \frac{d}{dt} \int_{\mathbb{R}^n} |u|^2 dx = - \int_{\mathbb{R}^n} |\nabla u|^2 dx$   
 3.  $\frac{1}{2} \frac{d}{dt} \int_{\mathbb{R}^n} |u|^2 dx = \int_{\mathbb{R}^n} u \Delta u dx$   
 4.  $\frac{1}{2} \frac{d}{dt} \int_{\mathbb{R}^n} |u|^2 dx = - \int_{\mathbb{R}^n} |\nabla u|^2 dx$   
 5.  $\frac{1}{2} \frac{d}{dt} \int_{\mathbb{R}^n} |u|^2 dx = \int_{\mathbb{R}^n} u \Delta u dx$   
 6.  $\frac{1}{2} \frac{d}{dt} \int_{\mathbb{R}^n} |u|^2 dx = - \int_{\mathbb{R}^n} |\nabla u|^2 dx$   
 7.  $\frac{1}{2} \frac{d}{dt} \int_{\mathbb{R}^n} |u|^2 dx = \int_{\mathbb{R}^n} u \Delta u dx$   
 8.  $\frac{1}{2} \frac{d}{dt} \int_{\mathbb{R}^n} |u|^2 dx = - \int_{\mathbb{R}^n} |\nabla u|^2 dx$   
 9.  $\frac{1}{2} \frac{d}{dt} \int_{\mathbb{R}^n} |u|^2 dx = \int_{\mathbb{R}^n} u \Delta u dx$   
 10.  $\frac{1}{2} \frac{d}{dt} \int_{\mathbb{R}^n} |u|^2 dx = - \int_{\mathbb{R}^n} |\nabla u|^2 dx$



(a)

第 15 図 A



(b)

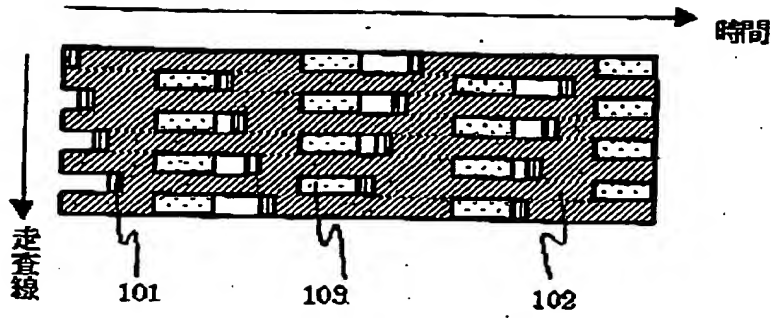
第 15 図 B



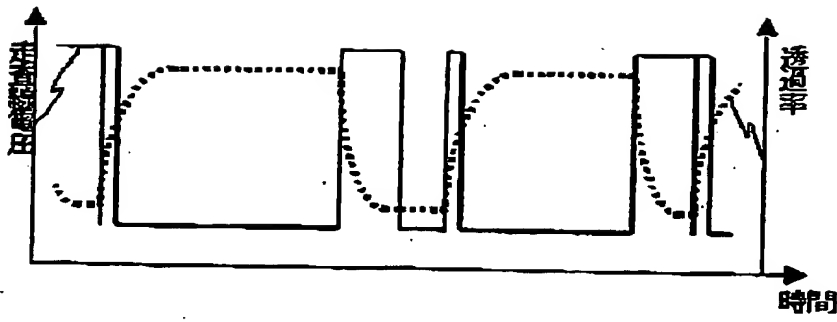
66700-01000000

第 1 6 圖

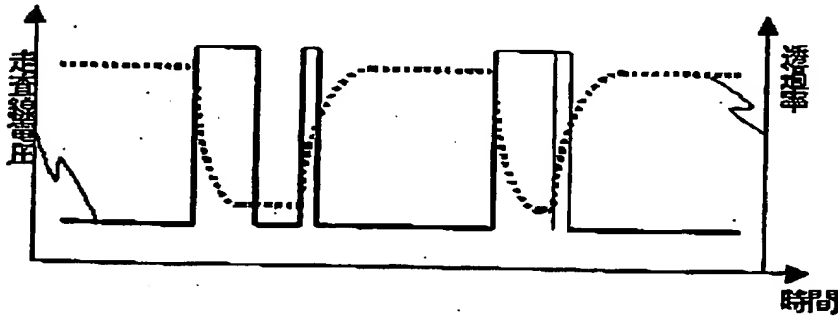
(a)



(b)



(c)

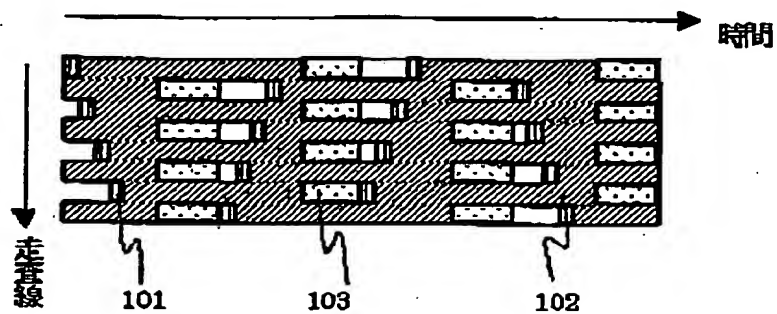


60700-946560

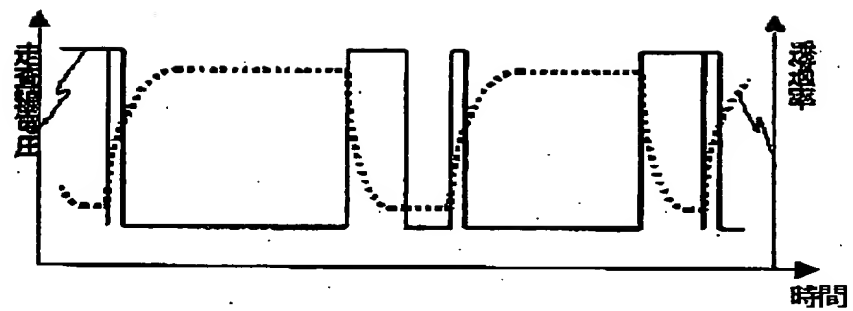


第 17 図

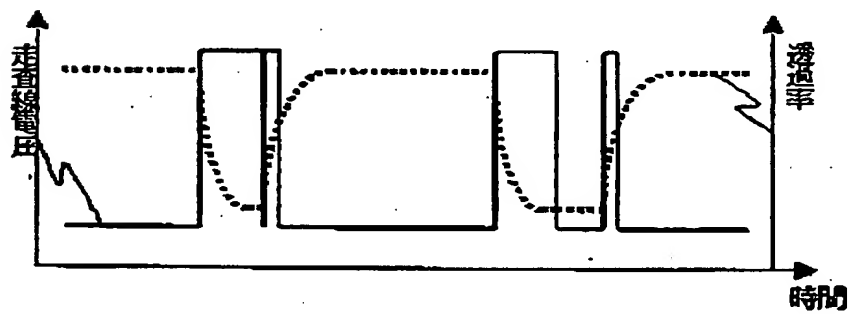
(a)



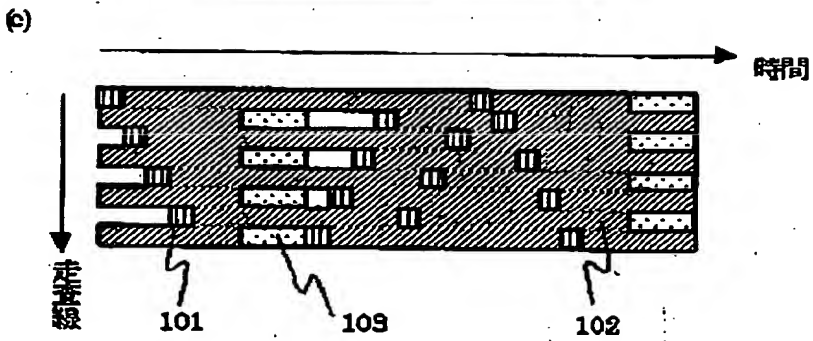
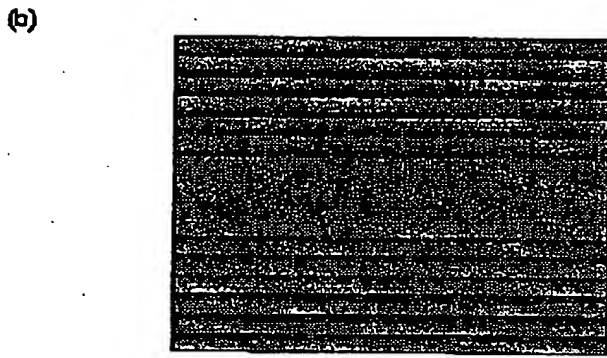
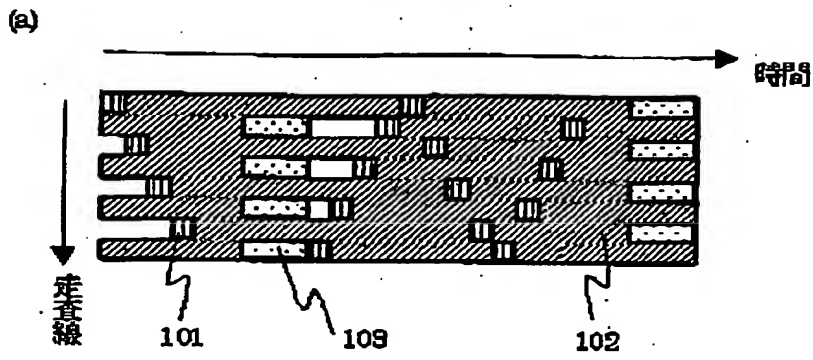
(b)



(c)

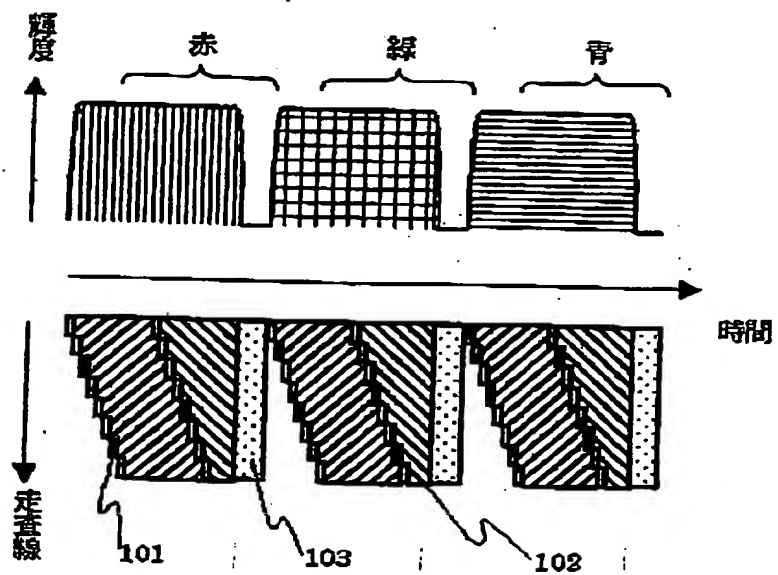


第 1 8 図

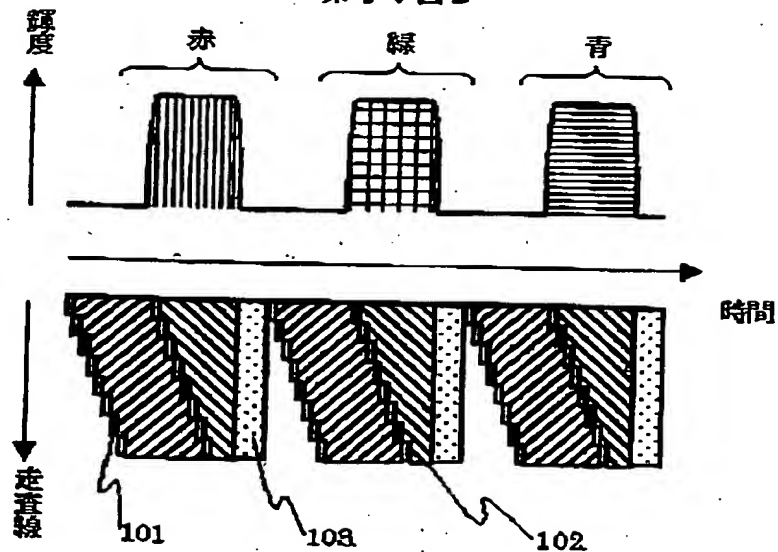


601200 910300

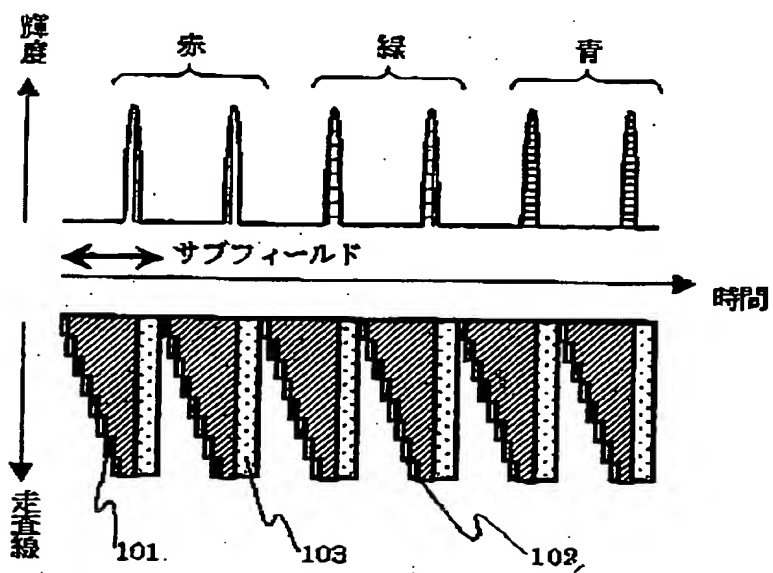
第19図A



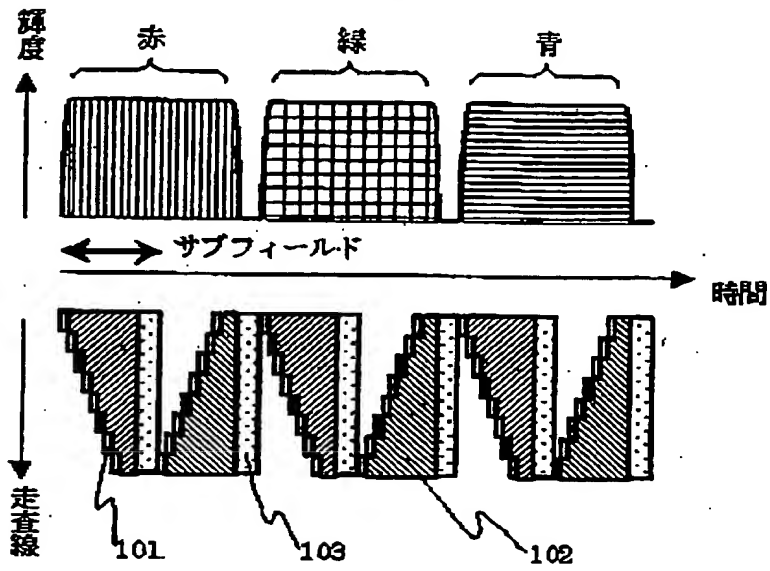
第19図B



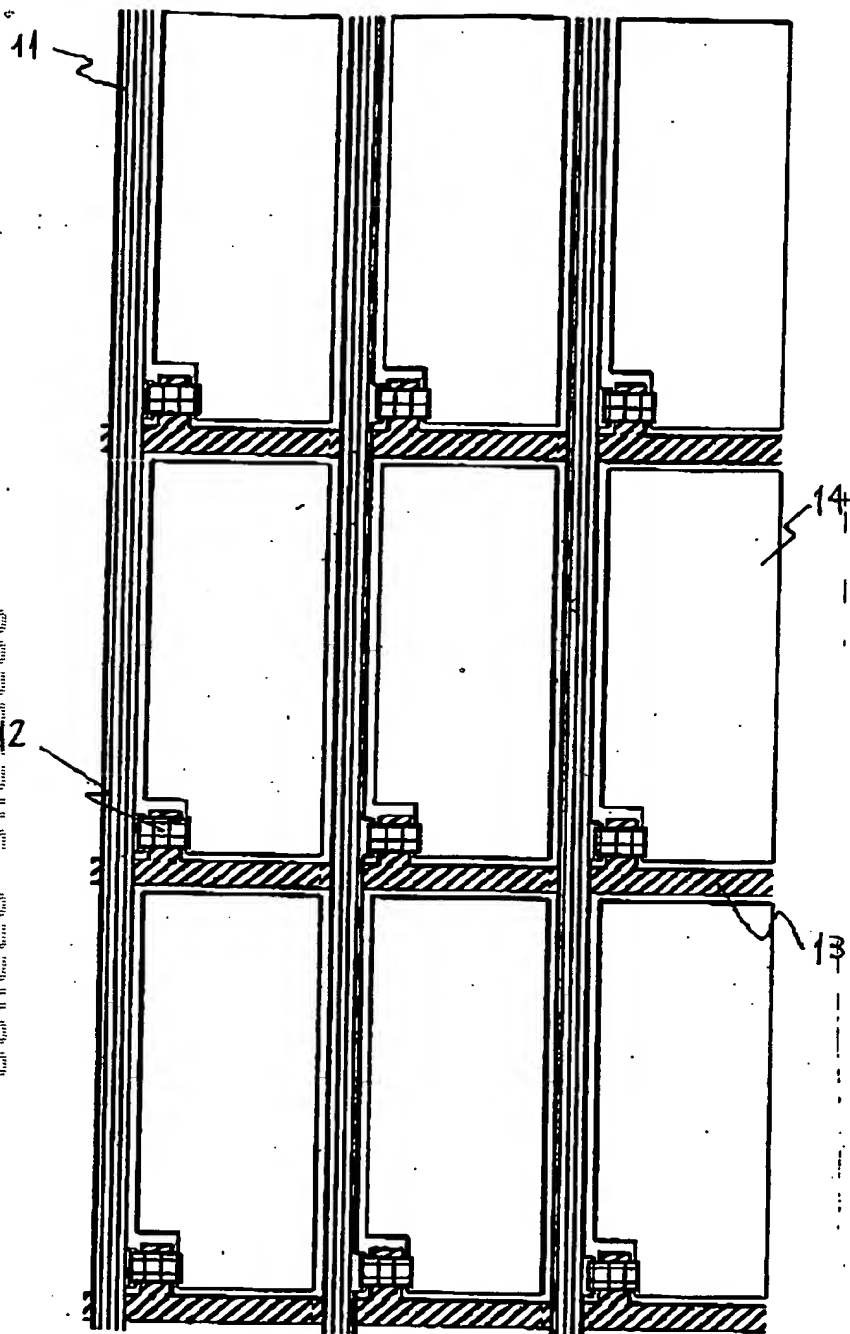
第 20 図  
従来技術



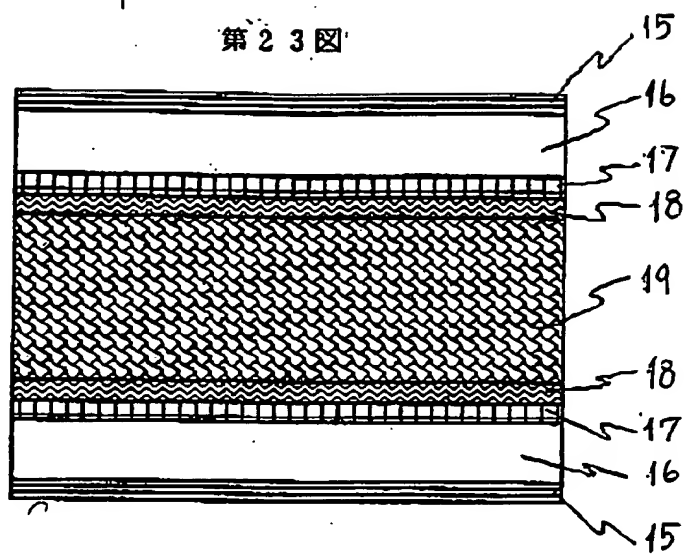
第 21 図



661620" 916 9360

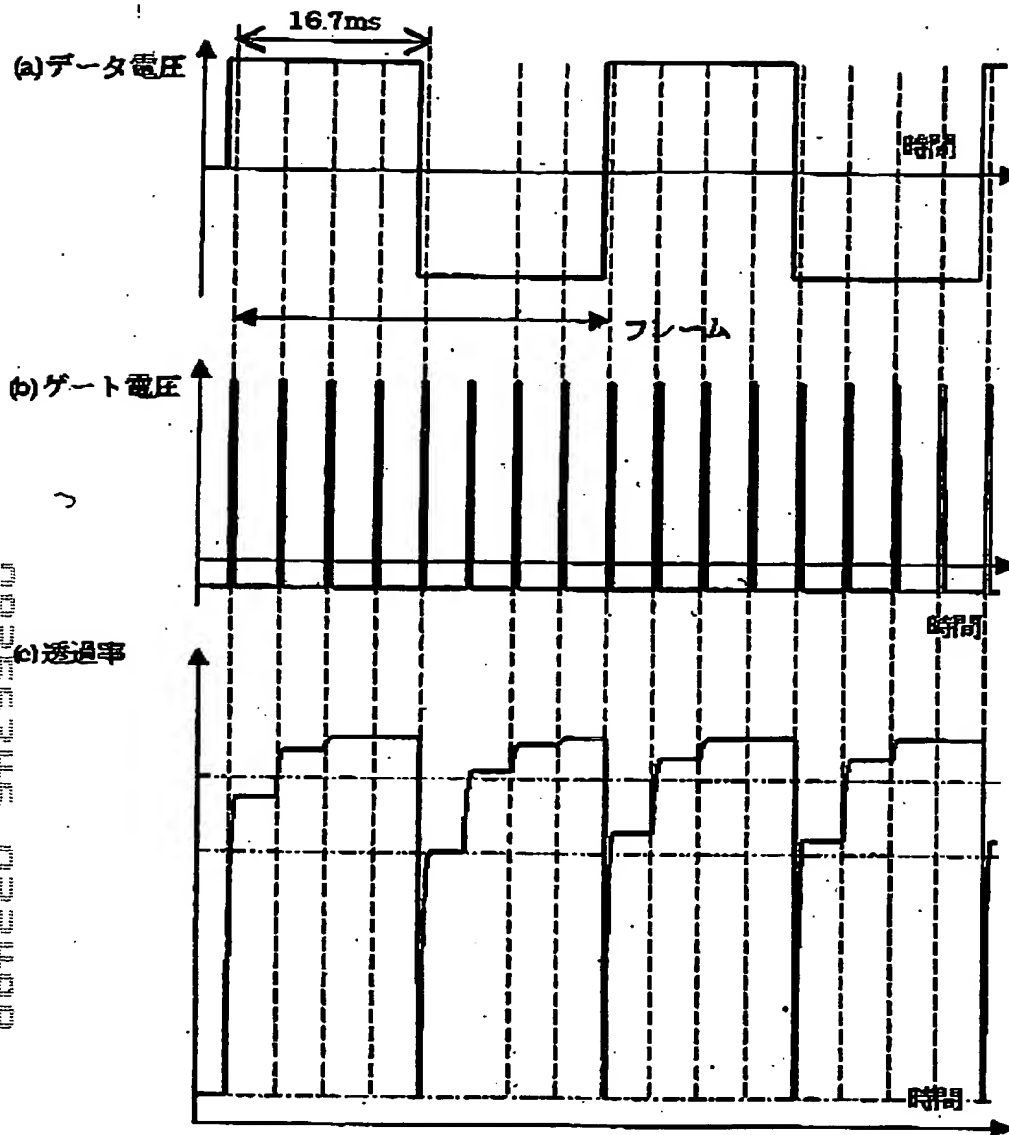


第 2 3 图



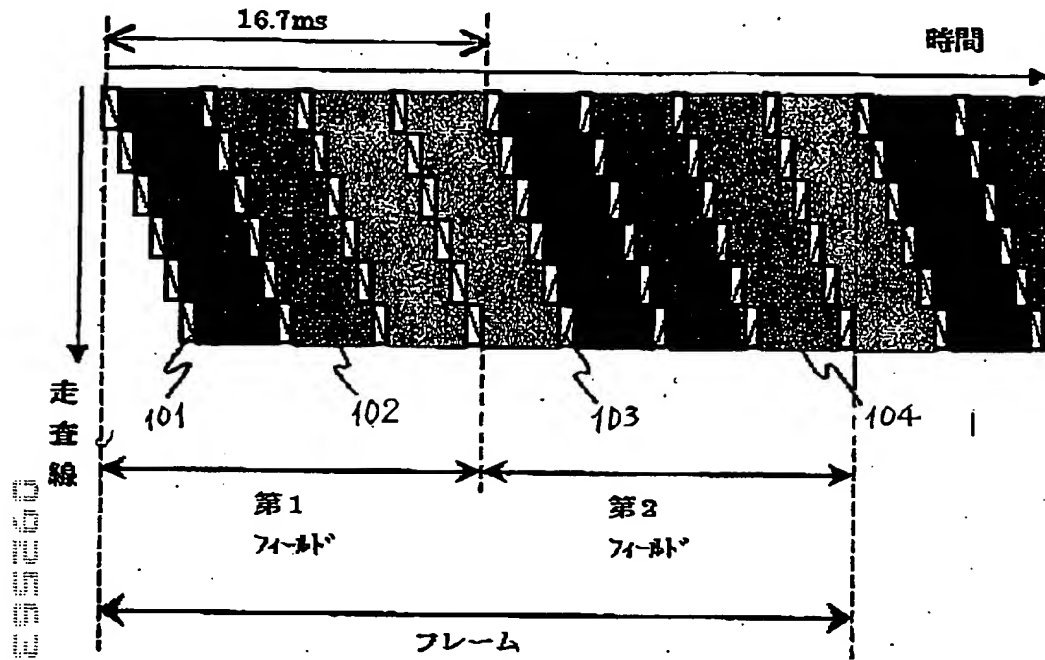
661220-91232200

第 2 4 図



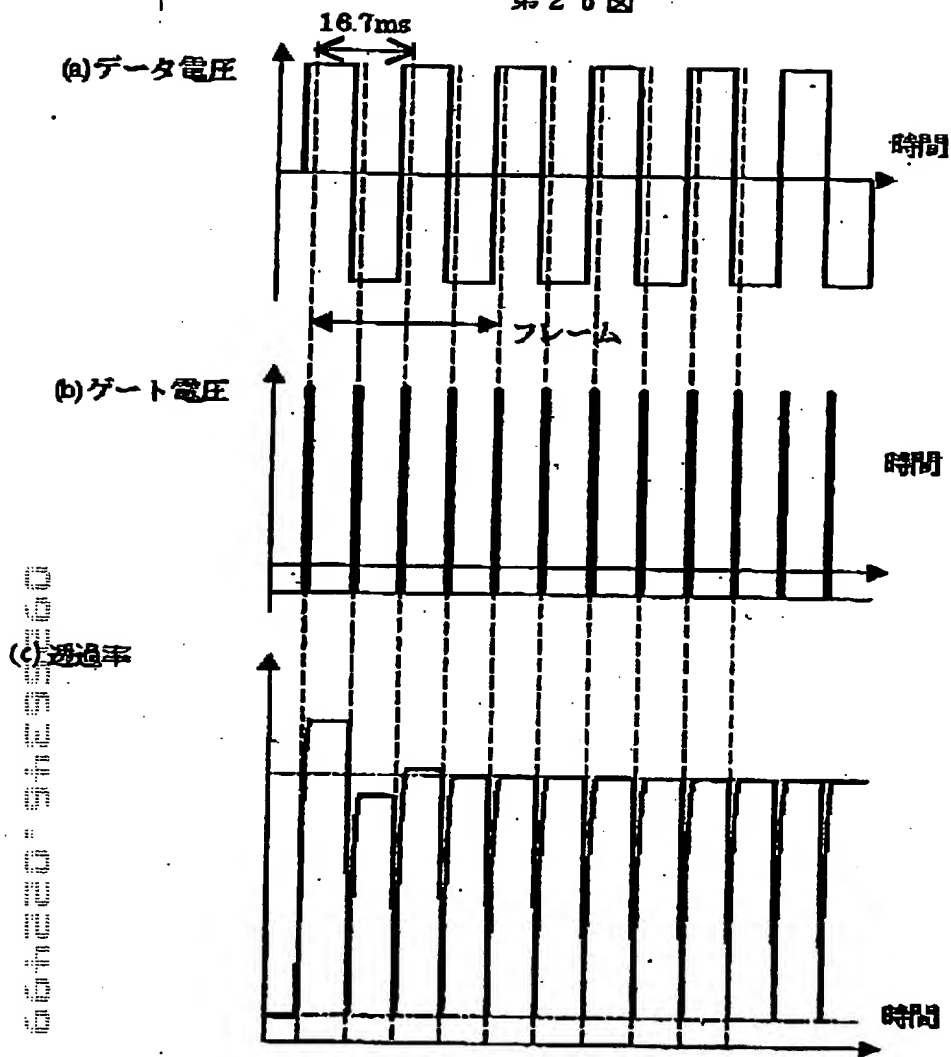


第 2 5 図

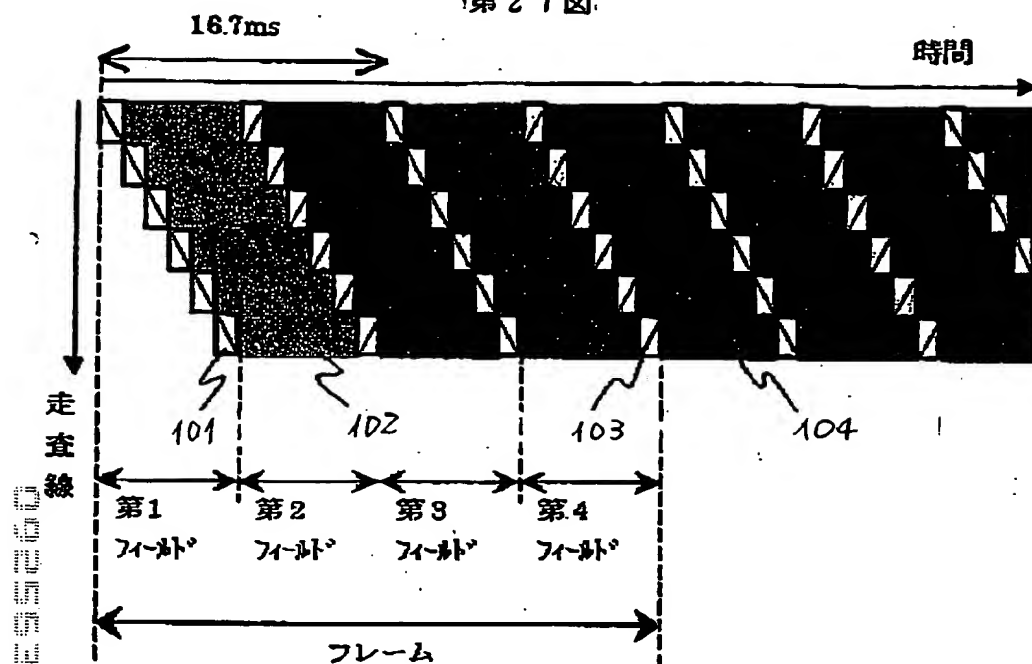


607220-912950853

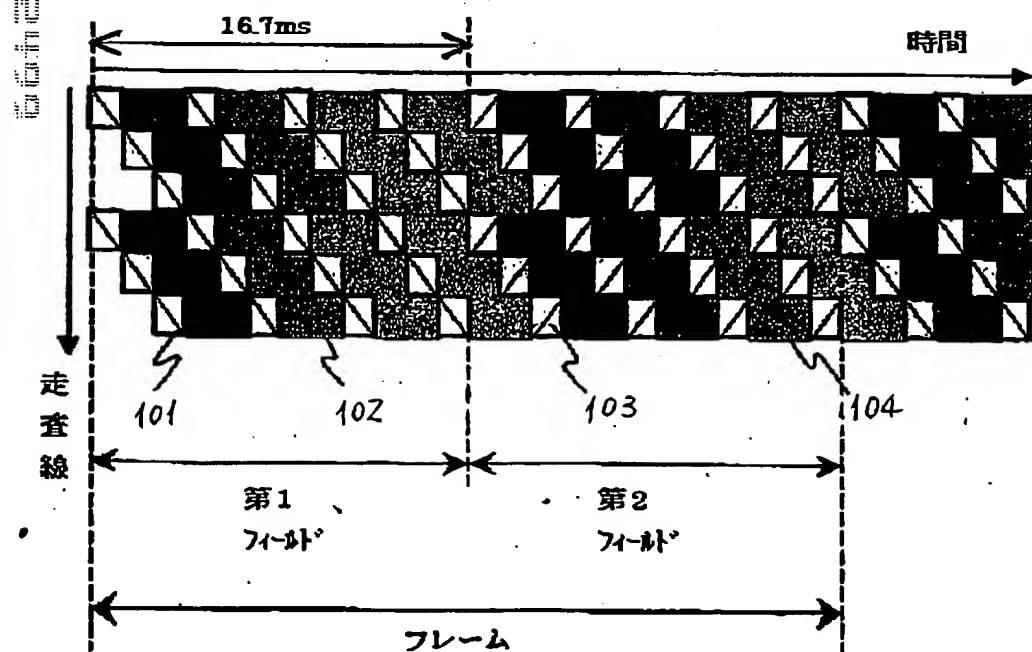
第 2 6 図



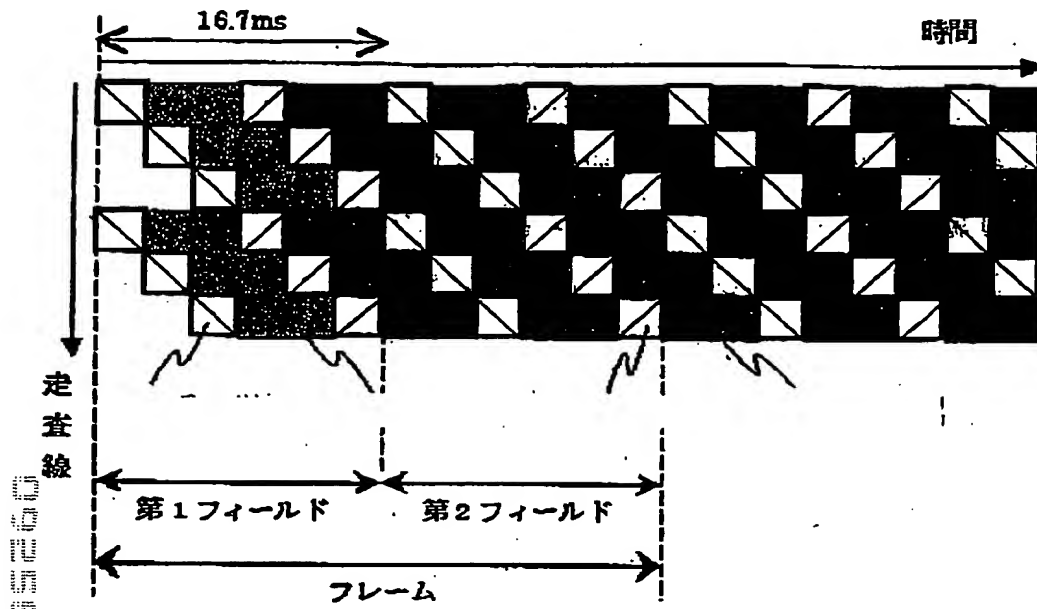
第 2 7 図



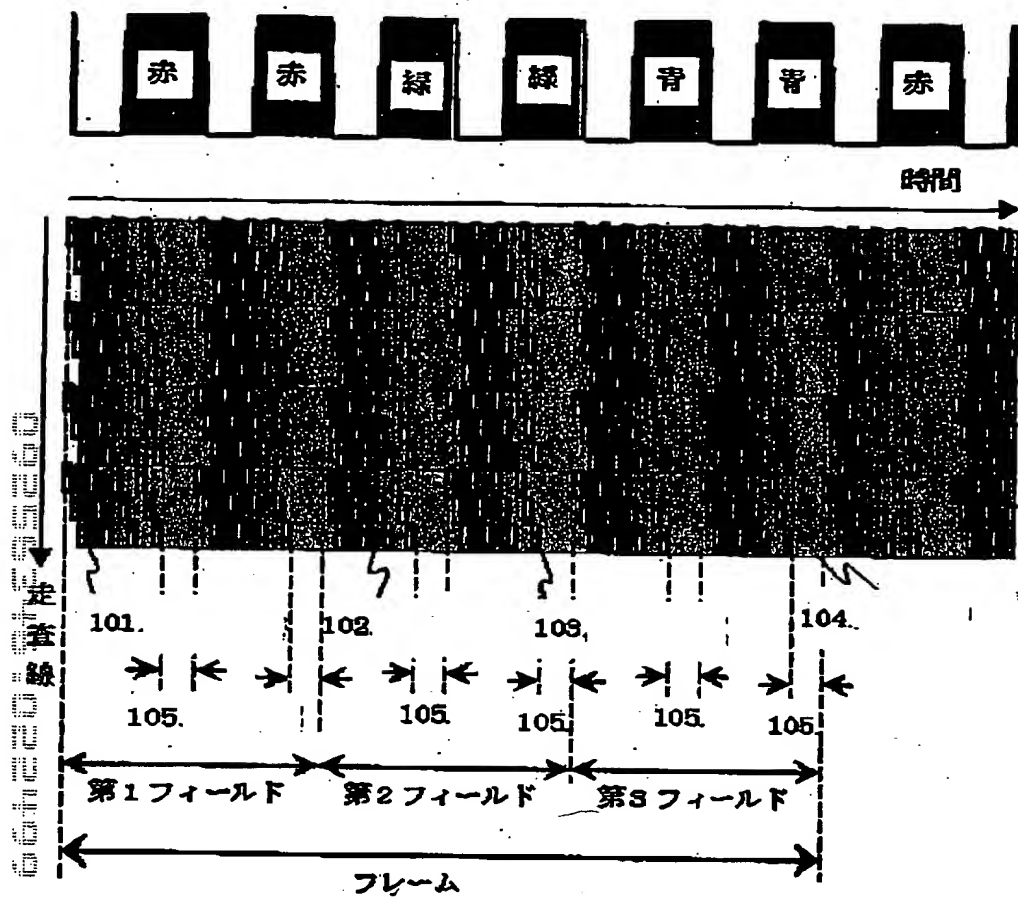
第 2 8 図



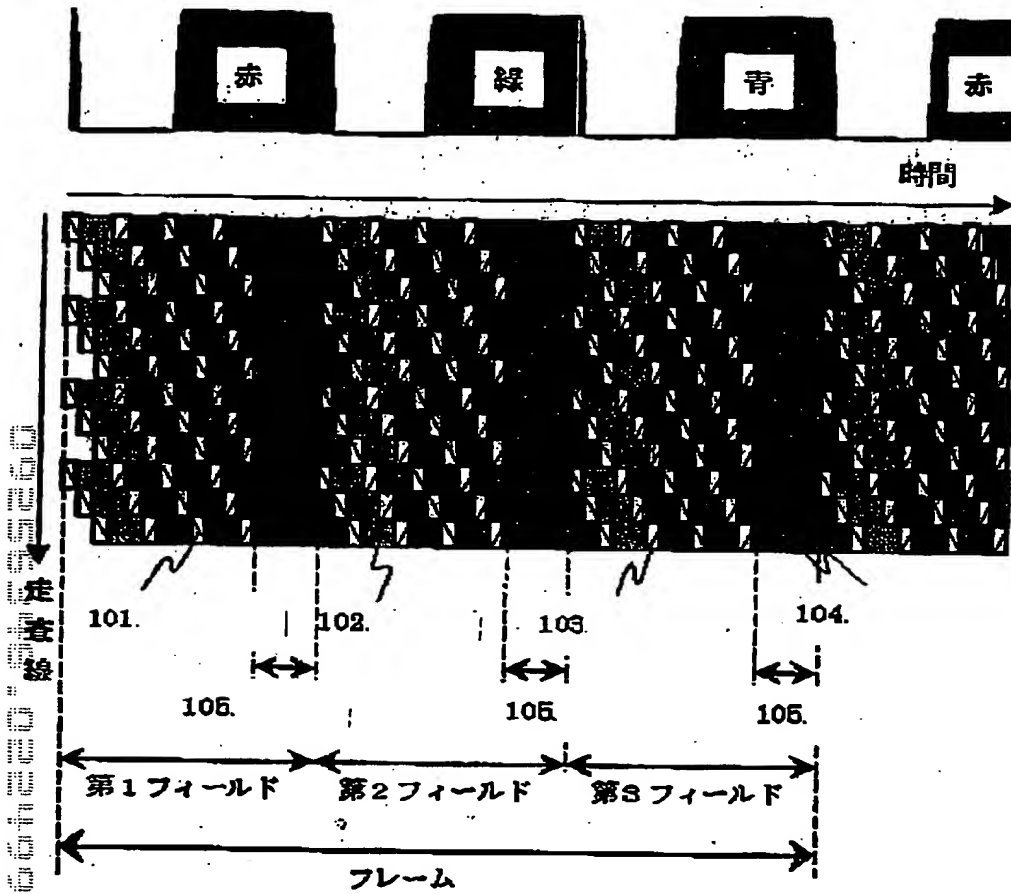
第 2 9 図

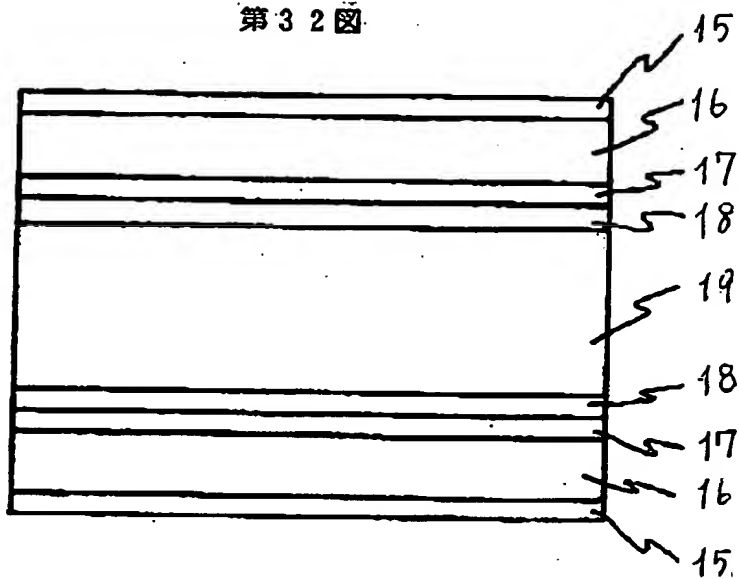


第3-0図

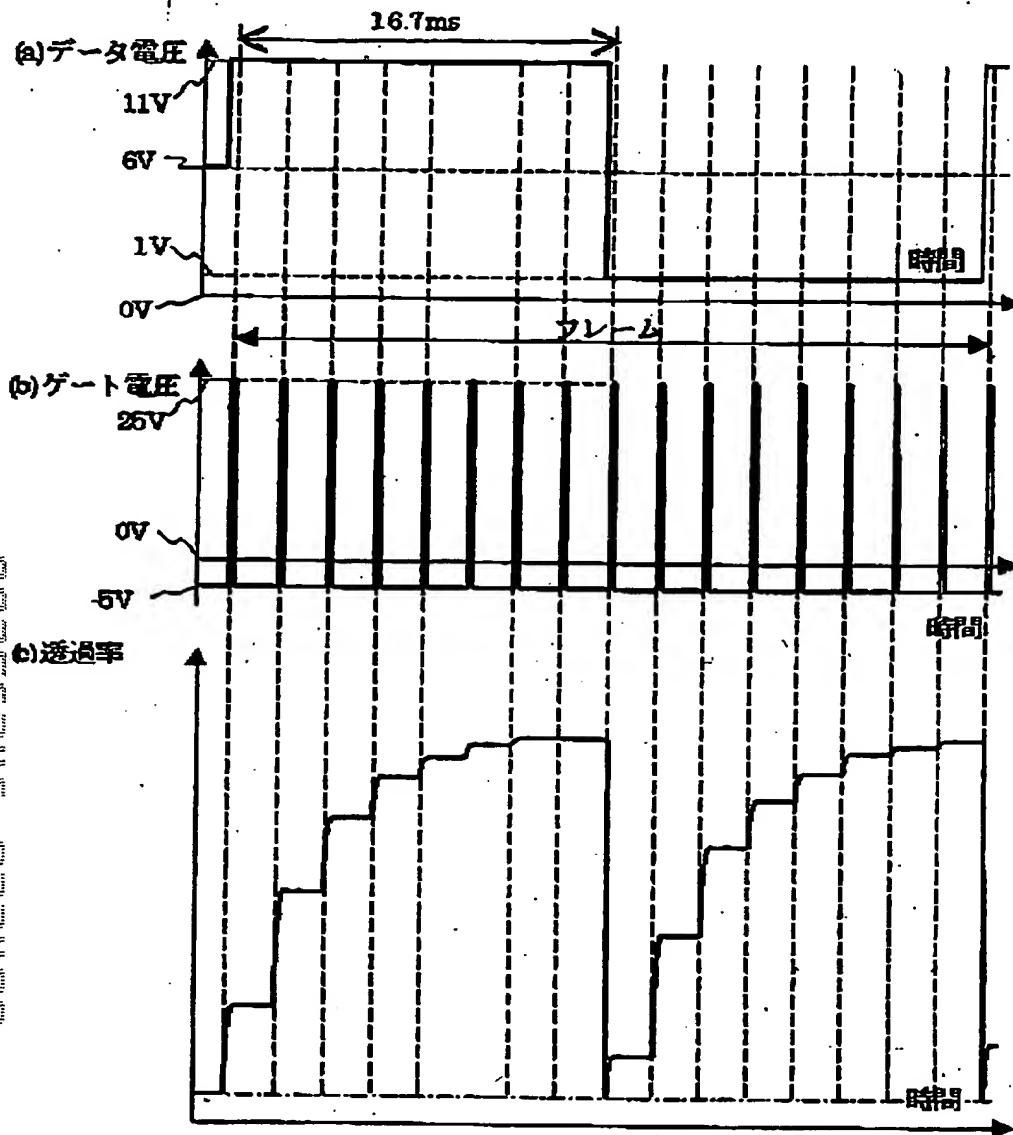


第31図



[illegible]

第 3 3 図





第 3 4 図

